



MI

Metody Identyfikacji

wykład #3





1. *Metody analizy spektralnej dla sygnałów okresowych i nieokresowych*



Analiza spektralna

- Wyznaczenie spektrum sygnałów jest często potrzebne
- Numeryczne sposoby wyliczenia transformaty Fouriera
- Tym samym potrzebne próbkowanie i metody cyfrowe
- Okienkowanie danych
- Efektywność obliczeniowa transformaty Fouriera dla dużych ilości danych

Transformaty

| Type of Transform | Example Signal |
|-----------------------------------------------------------------------------------|---------------------------------------------------------------------------------------|
| Fourier Transform <i>signals that are continuous and aperiodic</i> |  |
| Fourier Series <i>signals that are continuous and periodic</i> |  |
| Discrete Time Fourier Transform <i>signals that are discrete and aperiodic</i> |  |
| Discrete Fourier Transform <i>signals that are discrete and periodic</i> |  |

Numeryczne wyznaczanie transformaty Fouriera

- Cel: zawartość *częstotliwościowa* sygnału
- Wyznaczanie odpowiedzi częstotliwościowej modelu:
 - Konieczność wyznaczenia transformaty dla wejścia i wyjścia
- Wejście i wyjście w postaci dyskretyzowanego sygnału t_k dla $k = 0, 1, 2, \dots, N$
- Konieczność wypracowania **Dyskretnej Transformaty Fouriera**
- **Szybka Transformata Fouriera** znacznie bardziej efektywna obliczeniowo

Ciąg Fouriera dla sygnału okresowego

- Każdą funkcję okresową $x(t)$ z okresem T , tj. $x(t) = x(t+kT)$ można opisać jako

$$x(t) = \frac{a_0}{2} + \sum_{k=1}^{\infty} a_k \cos(k\omega_0 t) + b_k \sin(k\omega_0 t) \text{ with } \omega_0 = \frac{2\pi}{T}$$

- Taki szereg jest nazywany **szeregiem Fouriera**.
- Uwzględniamy raczej skończoną liczbę elementów. Parametry opisane jako:

$$a_k = \frac{2}{T} \int_0^T x(t) \cos(k\omega_0 t) dt$$

$$b_k = \frac{2}{T} \int_0^T x(t) \sin(k\omega_0 t) dt$$

- W dziedzinie zespolonej otrzymujemy postać:

$$x(t) = \sum_{k=-\infty}^{\infty} c_k e^{ik\omega_0 t}$$

$$c_k = \frac{1}{T} \int_0^T x(t) e^{-ik\omega_0 t} dt$$

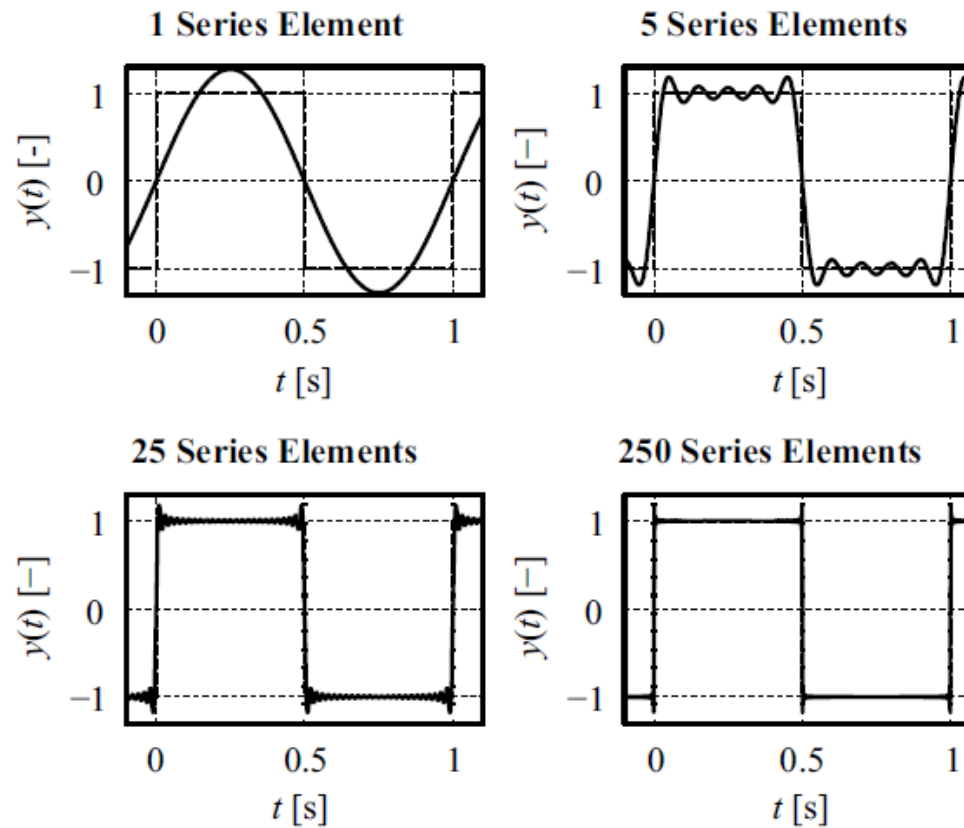
Ciąg Fouriera dla sygnału okresowego: efekt Gibbsa

- Efekt Gibbsa (1899) nazwany od imienia *Josiah Willarda Gibbsa* w matematyce jest to charakterystyczny sposób, w jaki zachowuje się aproksymacja funkcji $x(t)$ szeregiem Fouriera w punktach nieciągłości tej funkcji. Wykres nadmiernie oscyluje wokół tego punktu. Można przyjąć, że zjawisko to odzwierciedla trudność naśladowania nieciągłej funkcji przez skończone szeregi sinusów – nawet jeśli ilość elementów dąży do nieskończoności.
- Efekt Gibbsa wyjaśnia powstawanie zakłóceń różnego rodzaju sygnałów i znajduje zastosowanie w przetwarzaniu sygnałów (na przykład w cyfrowej obróbce obrazów). Między innymi wyjaśnia on przyczynę powstawania wysokoczęstotliwościowych oscylacji stanowiących zakłócenia sygnału przy zastosowaniu filtrów o prostokątnych oknach.



Ciąg Fouriera dla sygnału okresowego: efekt Gibbsa

- Zawsze pojawi się przeregulowanie, dla $N \rightarrow \infty$ otrzymamy około 18%



Ciąg Fouriera dla sygnału nieokresowego

- Rozszerzamy czasokres sygnału $T \rightarrow \infty$ i otrzymujemy transformatę Fouriera jako:

$$\mathcal{F}\{x(t)\} = x(i\omega) = \int_{-\infty}^{\infty} x(t) e^{-i\omega t} dt$$

- Jeśli nieokresowy sygnał ciągły jest próbkowany z czasem T_0 to sygnał ten możemy opisać jako ciąg delt Diraca o określonych wysokościach

$$x_\delta(k) = \sum_{k=-\infty}^{\infty} x(t) \delta(t - kT_0) = \sum_{k=-\infty}^{\infty} x(kT_0) \delta(t - kT_0)$$

- i otrzymujemy

$$x_\delta(i\omega) = \int_{-\infty}^{\infty} \sum_{k=-\infty}^{\infty} x(kT_0) \delta(t - kT_0) e^{-ik\omega T_0} dt = \sum_{k=-\infty}^{\infty} x(kT_0) e^{-ik\omega T_0}$$

- Ta transformata nazywana jest **Dyskretną Transformatą Fouriera** (DTFT – Discrete Time Fourier Transform)

Ciąg Fouriera dla sygnału nieokresowego

- Transformata odwrotna DTFT ma postać

$$x(k) = \frac{T_0}{2\pi} \int_{-\frac{\pi}{T_0}}^{\frac{\pi}{T_0}} x_{\delta}(i\omega) e^{ik\omega T_0} d\omega$$

- Jako że ciągły sygnał $x(t)$ jest przemnażany przez szereg delt Diraca, wynikowa transformata Fouriera $x_{\delta}(i\omega)$ jest okresowa w dziedzinie częstotliwości.
- Mnożenie w dziedzinie czasu jest splotem w dziedzinie częstotliwości.
- Ponieważ spektrum jest okresowe wystarczy je wyznaczyć w zakresie
 - $0 \leq \omega < 2\pi/T_0$
lub
 - $-\pi/T_0 \leq \omega < +\pi/T_0$



Ciąg Fouriera dla sygnału nieokresowego

- Okresowość uzasadnia twierdzenie Shannona-Kotielnikowa (1948), mówiące iż tylko częstotliwości do

$$f \leq \frac{1}{2T_0} = \frac{1}{2}f_s$$

- gdzie f_s jest częstotliwością próbkowania (częstotliwość Nyquista) mogą być próbkowane poprawnie. Pozostałe częstotliwości zostaną odtworzone fałszywie – zjawisko maskowania (**aliasing**).

Ciąg Fouriera dla sygnału nieokresowego

- Ponieważ nie możemy sumować do nieskończoności $-\infty \leq k \leq +\infty$, a ilość punktów wynosi N ($0 \leq k \leq N-1$) otrzymujemy Dyskretną Transformatę Fouriera w postaci:

$$\begin{aligned}x(i\omega) &= \sum_{k=0}^{N-1} x(kT_0)e^{-ik\omega T_0} \\&= \sum_{k=0}^{N-1} x(kT_0)\cos(k\omega T_0) - i \sum_{k=0}^{N-1} x(kT_0)\sin(k\omega T_0) \\&= \operatorname{Re}\{x(i\omega)\} + i\operatorname{Im}\{x(i\omega)\}.\end{aligned}$$

- Ograniczenie ilości próbek prowadzi do **okienkowania** (*ang.* windowing).



Ciąg Fouriera dla sygnału nieokresowego

- Pomimo że spektrum częstotliwościowe jest ciągłą i okresową funkcją niestety w obliczeniach nie możemy przechować wszystkich częstotliwości. Tym samym dyskretyzujemy również częstotliwość ω .
- Wystarczy to zrobić w zakresie $0 \leq \omega < 2\pi/T_0$
- Spektrum częstotliwości jest również przemnożone przez funkcję próbkującą

$$\tilde{x}(iv\Delta\omega) = \sum_{v=0}^{M-1} x(i\omega)\delta(i\omega - iv\Delta\omega)$$

- gdzie:
 - $\tilde{x}(iv\Delta\omega)$ oznacza próbkowaną transformatę,
 - $\Delta\omega$ – przyrost częstotliwości
 - M – ilość punktów ($M=2\pi/(T_0\Delta\omega)$)
- Prowadzi to do splotu w dziedzinie czasu i otrzymujemy okresowość w dziedzinie czasu poza próbkowanym zakresem, tj.

$$x(kT_0) = x(kT_0 + \mu T_n), \mu = 0, 1, 2, \dots, \text{ and } T_n = \frac{2\pi}{\Delta\omega}$$

Ciąg Fouriera dla sygnału nieokresowego

- Dobierając okres próbkowania częstotliwości jako $T_n = N$ to tym samym okresowość jest równoznaczna z długością pomiaru w dziedzinie czasu. Zatem $M = N$.
- Ostatecznie otrzymujemy *parę transformat DFT* jako:

$$x(in\Delta\omega) = \text{DFT}\{x(kT_0)\} = \sum_{k=0}^{N-1} x(kT_0)e^{-ikn\Delta\omega T_0}$$

$$x(kT_0) = \text{DFT}^{-1}\{x_S(in\Delta\omega)\} = \sum_{k=0}^{N-1} x(in\Delta\omega)e^{ikn\Delta\omega T_0}$$

- Zastosowanie DFT powoduje, że zarówno sygnał jak i jego spektrum staje się okresowym.
- Dla każdej częstotliwości ω DFT potrzebuje N mnożeń i $(N-1)$ dodawań. Zatem dla całego spectrum potrzeba N^2 mnożeń i $N(N-1)$ dodawań. Wydatek obliczeniowy jest wysoki. Dlatego wprowadzimy **Szybką Transformatę Fouriera** (FFT – Fast Fourier Transform).

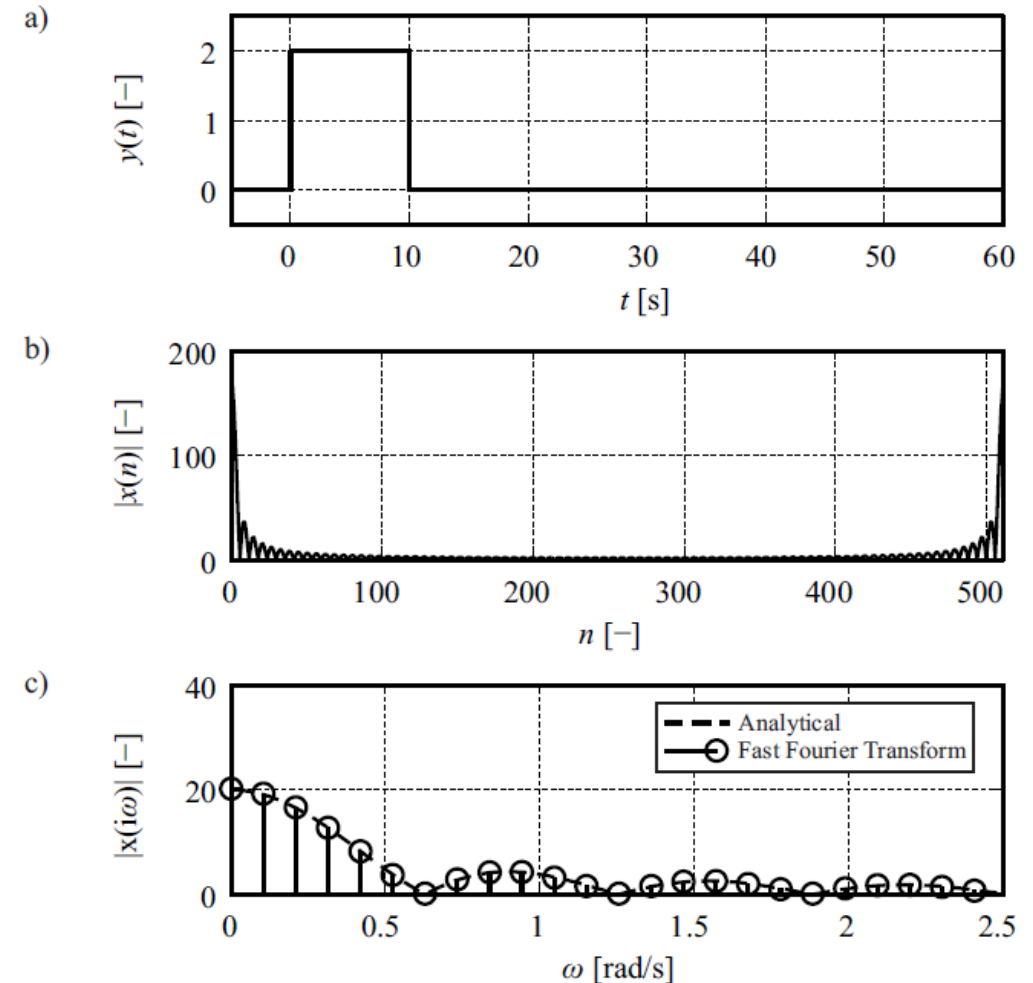
Ciąg Fouriera dla sygnału nieokresowego - Interpretacja DFT (FFT)

- FFT i analityczna postać transformaty Fouriera dla skoku prostokątnego:

- Sygnał oryginalny
- Wyjście FFT (nieskalowane)
- Wyjście przeskalowane zgodnie z:

$$\mathcal{F}\{x(kT_0)\} = T_0 x(ik\Delta\omega)$$

$$\omega = (0, \Delta\omega, 2\Delta\omega, \dots, (N-1)\Delta\omega) \text{ with } \Delta\omega = \frac{2\pi}{T_M}$$



Wprowadzenie teoretyczne

- Analiza Fouriera

Bardzo często wielkości mają charakter okresowy, tzn. taki, który powoduje powtarzanie się danej wielkości fizycznej z określonym okresem. Zazwyczaj taką funkcję okresową można przedstawić w postaci nieskończonego szeregu trygonometrycznego zwanego też szeregiem Fouriera.

$$f(x) = a_0 + \sum_{n=1}^{\infty} \left(a_n \cos \frac{n\pi x}{L} + b_n \sin \frac{n\pi x}{L} \right)$$

$$a_0 = \frac{1}{2L} \int_{-L}^L f(x) dx$$

$$a_n = \frac{1}{L} \int_{-L}^L f(x) \cos \frac{n\pi x}{L} dx$$

$$b_n = \frac{1}{L} \int_{-L}^L f(x) \sin \frac{n\pi x}{L} dx$$

Wprowadzenie teoretyczne

- Dyskretna transformata Fouriera
- Przypuśćmy, że mamy N kolejnych wartości zmierzonych w odstępach czasu Δ , tak że

$$h_k \equiv h(t_k), \quad t_k = k\Delta, \quad k = 0, 1, 2, \dots, N - 1$$

- Zamiast próbować znaleźć transformatę dla wszystkich wartości f oszacujemy ją jedynie w konkretnych punktach, danych przez:

$$f_n \equiv \frac{n}{N\Delta}, \quad n = -\frac{N}{2}, \dots, \frac{N}{2}$$

- Po przybliżeniu całki otrzymujemy
$$H_n \equiv \sum_{k=0}^{N-1} h_k e^{2\pi i k n / N}$$
- Zastosowane powyżej przekształcenie nosi nazwę dyskretnej transformaty Fouriera

Algorytm FFT

- Uwagi ogólne
- Obliczanie transformaty bezpośrednio ze wzoru jest nieefektywne ze względu na zbyt dużą złożoność obliczeniową.
- Wzrost wydajności przy zastosowaniu FFT

| | N | 2 | 4 | 8 | 16 | 32 | 64 | 128 |
|-----|-------------------------|---|----|-----|-----|------|------|-------|
| DFT | $2N^2$ | 8 | 32 | 128 | 512 | 2048 | 8192 | 32768 |
| FFT | $\frac{1}{2} \log_2(N)$ | 2 | 8 | 24 | 64 | 160 | 384 | 896 |

Algorytm FFT

- Idea
- Sama idea algorytmu opiera się na tzw. lemacie Danielsona-Lanczosa. Odkryli oni, że pojedyncza DFT o długości N , jest równoważna sumie dwóch transformat o długości $N/2$, jedna z nich jest złożona z nieparzystych punktów spośród oryginalnych N , a druga z parzystych.

$$\begin{aligned} H_n &= \sum_{j=0}^{N/2-1} e^{2\pi i n j / (N/2)} f_{2j} + W^n \sum_{j=0}^{N/2-1} e^{2\pi i n j / (N/2)} f_{2j+1} = \\ &= H_n^e + W^n H_n^o \end{aligned}$$

- H_n^e oznacza n -ty składnik transformaty o długości $N/2$, stworzony z parzystych (*even*) punktów, a H_n^o odpowiednio z nieparzystych (*odd*).



Algorytm FFT

- Algorytm Cooley'a-Tukey'a

| Przykład wyznaczania transformaty dla $N = 8$ punktów | | | | | | | |
|-----------------------------------------------------------------------------------------------------------------|-----------|-------------------------------------------------|-----------|-----------------------------------------------------------------------------------------------------------------|-----------|-------------------------------------------------|-----------|
| $a_0 \quad a_1 \quad a_2 \quad a_3 \quad a_4 \quad a_5 \quad a_6 \quad a_7$ | | | | | | | |
| $a_0 \quad a_2 \quad a_4 \quad a_6$ | | | | $a_1 \quad a_3 \quad a_5 \quad a_7$ | | | |
| $a_0 \quad a_4$ | | $a_2 \quad a_6$ | | $a_1 \quad a_5$ | | $a_3 \quad a_7$ | |
| $000 = 0$ | $100 = 4$ | $010 = 2$ | $110 = 6$ | $001 = 1$ | $101 = 5$ | $011 = 3$ | $111 = 7$ |
| a_0 | a_4 | a_2 | a_6 | a_1 | a_5 | a_3 | a_7 |
| $000 = 0$ | $001 = 1$ | $010 = 2$ | $011 = 3$ | $100 = 4$ | $101 = 5$ | $110 = 6$ | $111 = 7$ |
| $b_0 = a_0 + a_4$ $b_1 = a_0 - a_4$ | | $b_2 = a_2 + a_6$ $b_3 = a_2 - a_6$ | | $b_4 = a_1 + a_5$ $b_5 = a_1 - a_5$ | | $b_6 = a_3 + a_7$ $b_7 = a_3 - a_7$ | |
| $c_0 = b_0 + b_2$ $c_1 = b_1 + \omega_4 b_3$ | | $c_2 = b_0 - b_2$ $c_3 = b_1 - \omega_4 b_3$ | | $c_4 = b_4 + b_6$ $c_5 = b_5 + \omega_4 b_7$ | | $c_6 = b_4 - b_6$ $c_7 = b_5 - \omega_4 b_7$ | |
| $d_0 = c_0 + c_4$ $d_1 = c_1 + \omega_8 c_5$ $d_2 = c_2 + \omega_8^2 c_6$ $d_3 = c_3 + \omega_8^3 c_7$ | | | | $d_4 = c_0 - c_4$ $d_5 = c_1 - \omega_8 c_5$ $d_6 = c_2 - \omega_8^2 c_6$ $d_7 = c_3 - \omega_8^3 c_7$ | | | |

$$W_N^{k - \frac{N}{2}} = e^{i2\pi(k - \frac{N}{2})/N} = e^{i2\pi k/N} e^{-i\pi} = -e^{i2\pi k/N} = -W_N^k$$



Zastosowanie analizy Fouriera

- Uwagi ogólne
- W ciągu ostatnich lat, wraz z rozwojem elektronicznej techniki obliczeniowej, nastąpił szybki rozwój teorii dotyczących analiz szeregów czasowych.
- Powstawały nowe metody numerycznego opracowania danych, które wcześniej nie mogły być zastosowane, ze względu na ogromną czasochłonność obliczeń.
- Metody te opracowywane były głównie dla potrzeb elektroniki gdzie, aby dostać np. dokładniejsze estymatory widm mocy lub lepszą filtrację, wydłużano szeregi czasowe.

Zastosowanie analizy Fouriera

- Analiza Fouriera w fizyce:
 - Współczynniki Fouriera są interpretowane jako amplitudy odpowiednich składowych harmoniczných.
 - Pierwsza składowa przekształcenia a_0 określa wartość stałą. Zależy ona od położenia sygnału względem osi poziomej. W praktyce jest najczęściej pomijana.
 - Kwadraty współczynników z dokładnością do czynnika multiplikatywnego określają energię danej składowej harmonicznej.
 - W ten sposób można mówić fizycznie o badaniu widma pewnej wielkości fizycznej tzn. rozkładzie energii w funkcji częstotliwości.

Zastosowanie analizy Fouriera

- Analiza Fouriera w elektronice:
 - Widmo sygnału prostokątnego składa się z harmoniczných o częstościach będących całkowitą nieparzystą wielokrotnością częstości podstawowej o amplitudach malejących ze wzrostem częstości harmoniczných.
 - Im więcej składowych harmoniczných jest sumowanych tym lepsze jest przybliżenie przebiegu prostokątnego.
 - W konkretnych zagadnieniach, kształt badanego sygnału jest na tyle skomplikowany, że trudno jest obliczyć go w sposób ścisły. Problemy z detekcją i szumami.
 - Filtracja oraz pasmo przenoszenia sygnału.

Wyznaczanie numeryczne transformaty Fouriera

• Zakładając $e^{-ikn\Delta\omega T_0} = W_N^{nk}$ otrzymujemy $x(n) = \sum_{k=0}^{N-1} x(k) W_N^{nk}$

- Ze względu na właściwości operatora transformatę można podzielić na dwie sumy, dla parzystych i nieparzystych elementów:

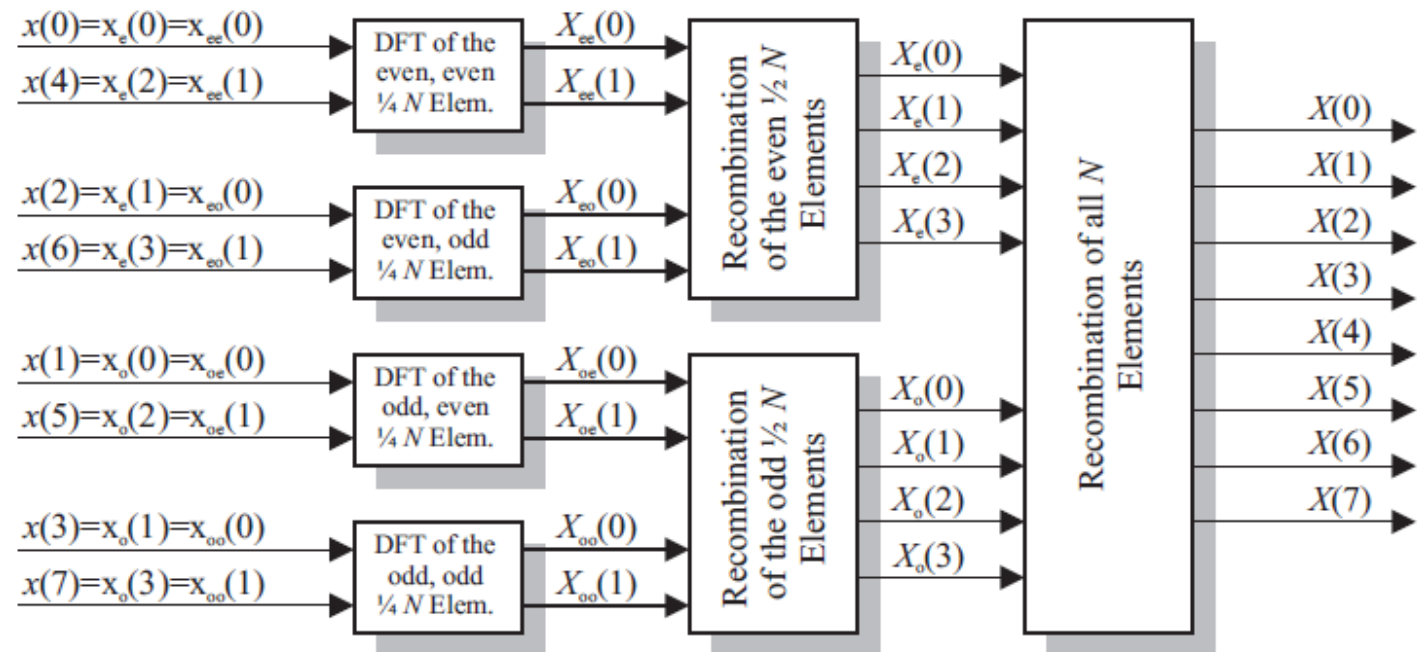
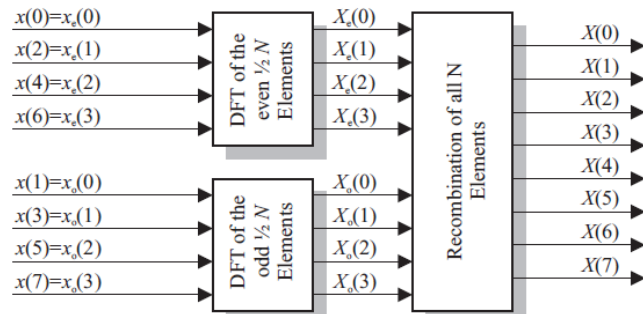
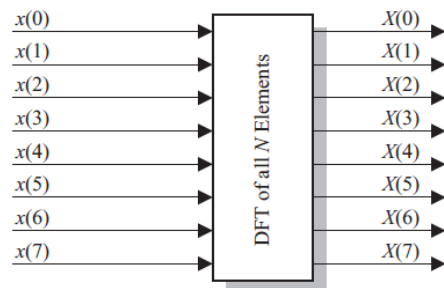
$$\begin{aligned}
 x(n) &= \sum_{k=0}^{N-1} x(k) W_N^{nk} \\
 &= \sum_{k=0}^{\frac{N}{2}-1} x(2k) W_N^{2nk} + \sum_{k=0}^{\frac{N}{2}-1} x(2k+1) W_N^{n(2k+1)} \\
 &= \sum_{k=0}^{\frac{N}{2}-1} x(2k) W_N^{2nk} + W_N^n \sum_{k=0}^{\frac{N}{2}-1} x(2k+1) W_N^{2kn} \\
 &= x_e(n) + W_N^n x_o(n) ,
 \end{aligned}$$

DIT (radix-2 decimation-in-time) FFT
Algorytm Cooleya-Tukeya



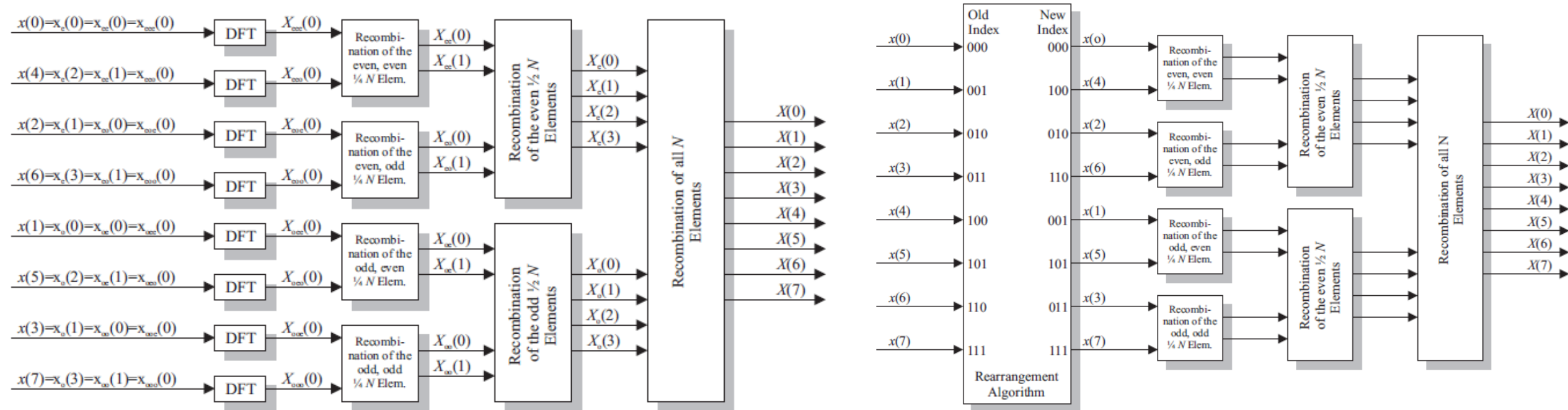
Wyznaczanie numeryczne transformaty Fouriera

- Obie sumy mają taki sam operator okresowy ($N/2$). Obie sumy są oznaczone „e” – parzysta i „o” – nieparzysta. Obie sumy można teraz podzielić *wgłqb* na kolejne dwie dodając kolejny indeks, np. „ee” parzysta-parzysta.
- Zasada dziel i rządź *divide et impera* dla $N = 8$ przedstawiona jest poniżej:



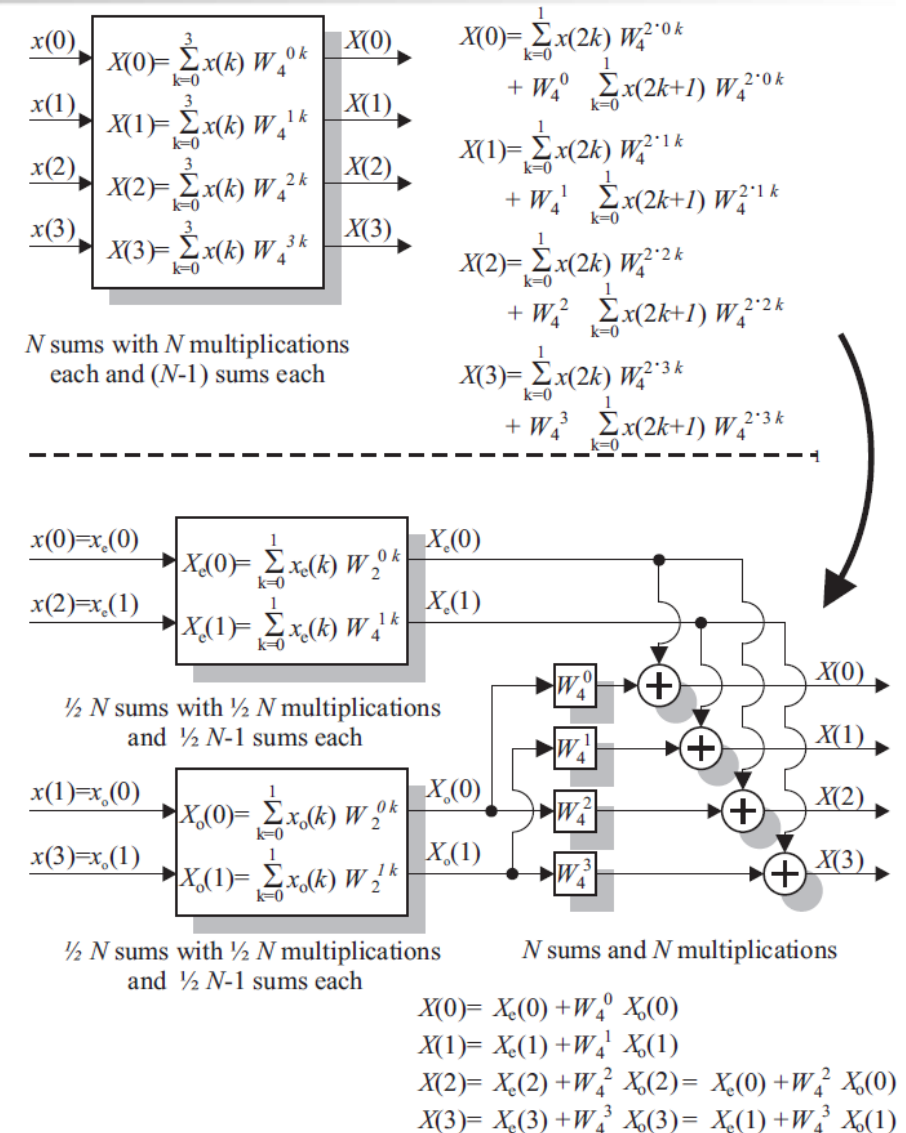
Wyznaczanie numeryczne transformaty Fouriera

- Zasada *divide et impera* dla $N = 8$ (ciąg dalszy) – rekombinacja:



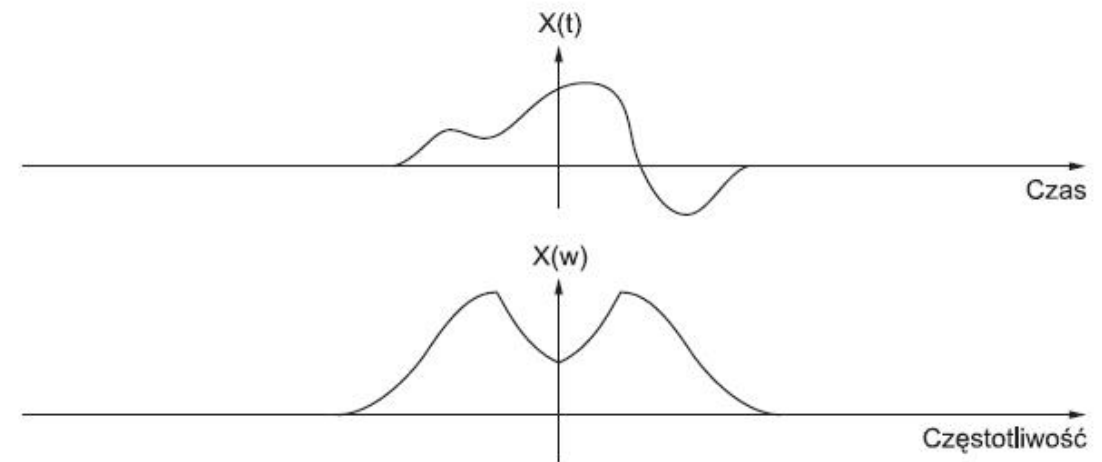
Wyznaczanie numeryczne transformaty Fouriera

- Przed pierwszą rekombinacją należy przestawić próbki w odwrotnym porządku binarnym, np. element $n = 100_2$, stanie się elementem $n = 001_2$
- DFT potrzebuje N^2 zespolonych mnożeń i $N(N-1)$ zespolonych dodawań, podczas gdy $O(N)$ operacji może być oszczędzonych jako trywialne (mnożenie przez 1)
- Powyższy FFT ma złożoność $N \log_2 N$ zespolonych mnożeń i $N \log_2 N$ zespolonych dodawań, przy czym część z nich jest trywialna



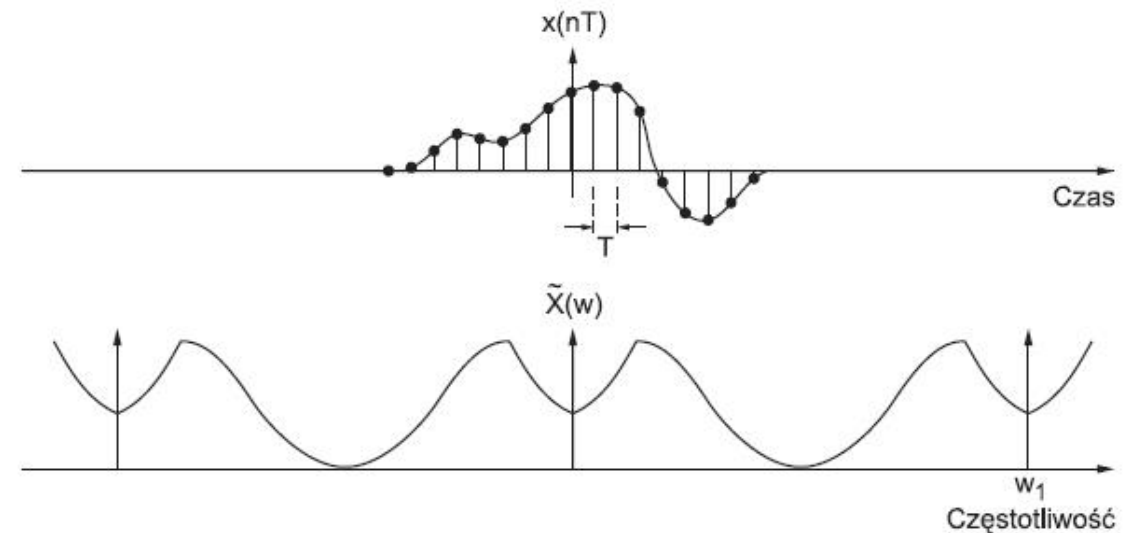
FFT – uwagi praktyczne

- Po pierwsze w praktyce ma się do czynienia z sygnałami o skończonym czasie trwania i z widmami o skończonej szerokości pasma.
- Po drugie, próbki sygnału muszą mieć określoną długość, a widmo określone częstotliwości składowe.
- Przykładowy ciągły w czasie nieokresowy $x(t)$ jest pokazany obok. Jego fourierowska transformata $X(\omega)$ jest ciągła i nieokresowa w domenie częstotliwości. Sygnał próbkujemy w odstępach T , czyniąc go nieciągłym w czasie.
- Pamiętamy, że mnożenie w domenie czasu odpowiada splutowi w domenie częstotliwości i na odwrót.



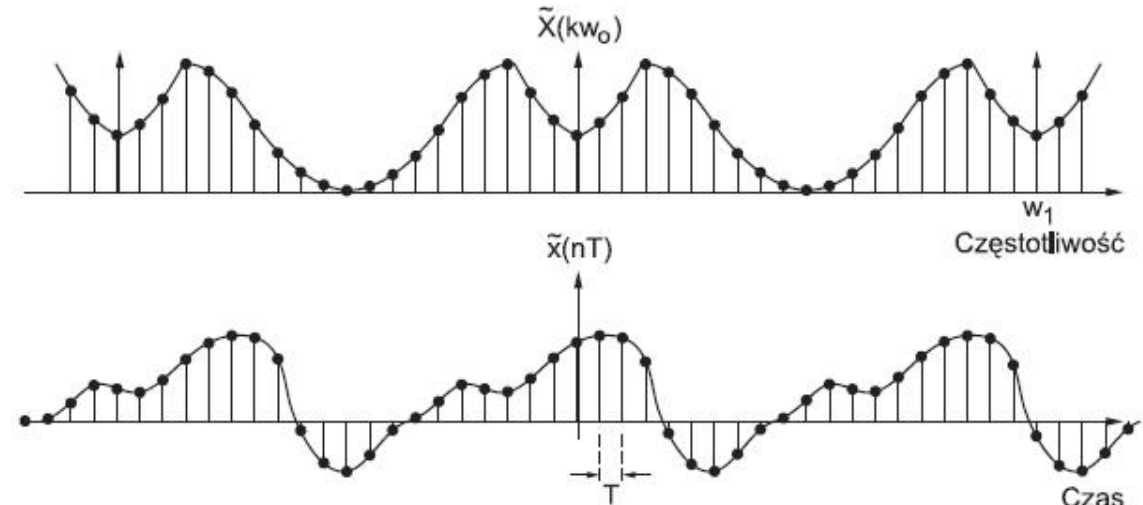
FFT – uwagi praktyczne

- Ponieważ próbkowanie jest mnożeniem $x(t)$ i sygnału próbkującego $s(t)$ w domenie czasu, odpowiada ono splotowi widma sygnału z widmem $s(t)$, będącego szeregiem harmonicznym f_s , pokazanym obok.
- Jeśli pamięta się proces i widmo modulacji amplitudy to można rozpoznać, że widmo jest widmem modulacji każdej harmonicznej f_s przez $s(t)$. Splot jest właśnie tym procesem.



FFT – uwagi praktyczne

- Następnym krokiem jest przemiana tego widma w nieokresowe przez próbkowanie z częstotliwością ω_0 Hz. Zabieg ten w domenie częstotliwości wpływa na sygnał w domenie czasu czyniąc go okresowym.
- Jest to wynik splotu sygnału z ciągiem impulsów próbkujących o okresie $1/f_0$.
- Powstał w ten sposób okresowy w czasie sygnał i jego okresowa transformata fourierowska. Rozciągają się one do nieskończoności, ale są okresowe.

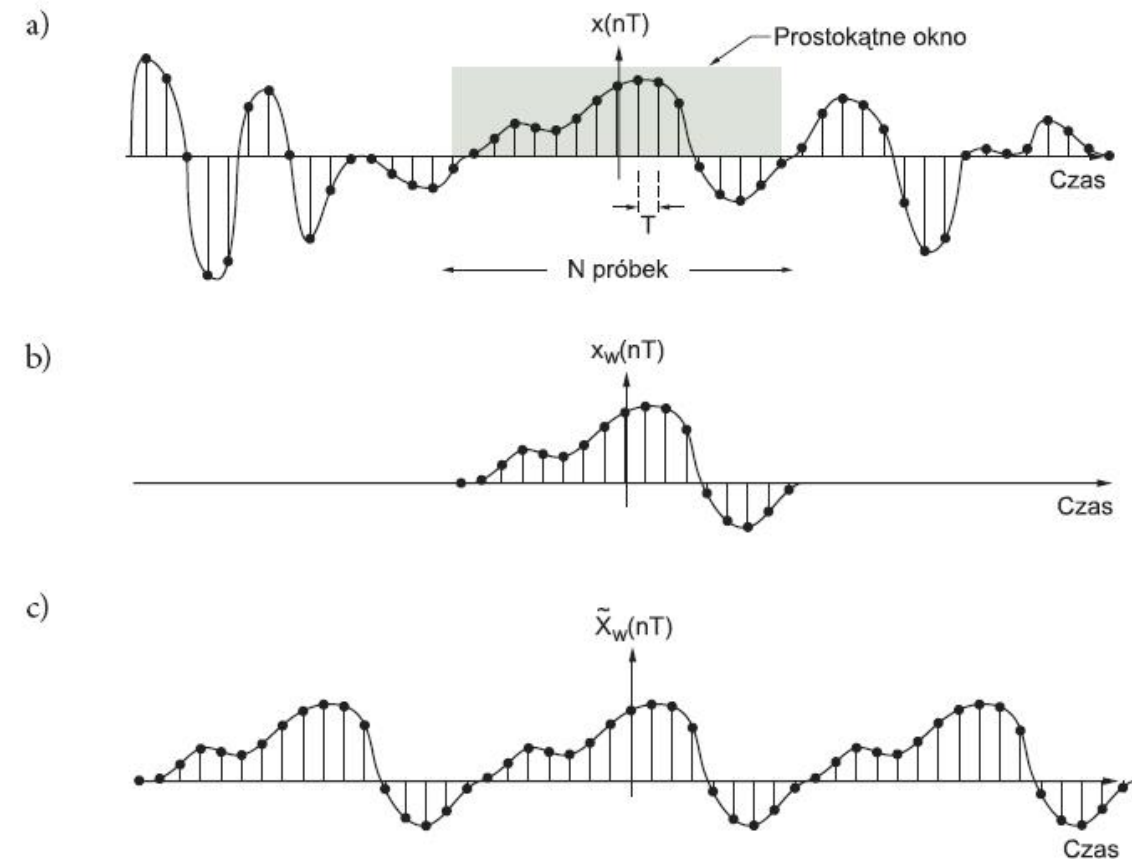


FFT – okienkowanie

- Trzeba więc wziąć jeden okres w każdej z domen mnożąc go przez funkcję prostokątną. Zabieg ten nazywa się okienkowaniem.
- Okienkowanie w jednej domenie wpływa oczywiście na sygnał w drugiej domenie.
- Jeden okres otrzymanego widma nieokresowego przyjmuje się więc za nieokresową fourierowską transformatę jednego okresu nieciągłego sygnału okresowego.

FFT – okienkowanie

- W praktyce do analizy sygnałów
 - najpierw trzeba przez próbkowanie otrzymać sygnał nieciągły, jak pokazano na (a),
 - wydzielić segment N próbek przez okienkowanie, jak pokazano na (b).
 - Następnie przyjmuje się, że segment jest powtarzalny, czyli segment zostaje powielony w obie strony, jak pokazuje (c).
- Dla tego sygnału oblicza się współczynniki jednego okresu nieciągłej transformaty Fouriera
- Następnie przenosi się na następny segment ciągu próbek i powtarza się obliczenia.
- Przedstawienie poprzez próbki transformat Fouriera jest w gruncie rzeczy przedstawieniem poprzez ciąg okresowy ciągu o ograniczonej długości, którego jeden okres jest skończoną sekwencją, która ma zostać przedstawiona.

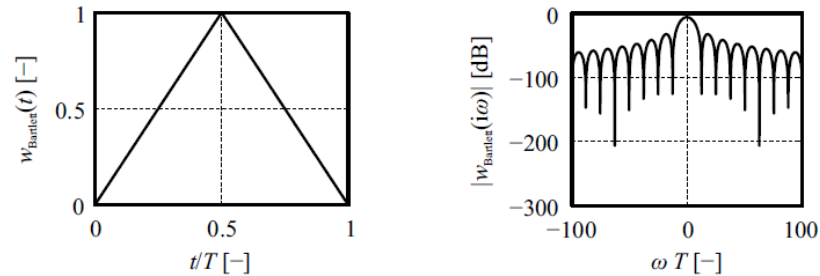


FFT – okienkowanie

- Różne rodzaje okien:
 - Prostokątne (żadne) – największa ilość wycieku okna
 - Hanninga – użyteczne do analizy przebiegów nieustalonych dłuższych niż czas trwania okna
 - Hamminga - podobne do Hanninga
 - Kaiser-Bessela – do wykrywania dwu sygnałów o zbliżonej częstotliwości ale różnych amplitudach
 - Trójkątne
 - Flat Top – najwyższa dokładność amplitudowa kosztem selektywności częstotliwości – mierzenie amplitud pojedynczych składowych
 - Wykładnicze – użyteczne przy mierzeniu sygnałów nieustalonych, tj. krótkotrwałych
 - Bartlett
 - Hann
 - Blackmann

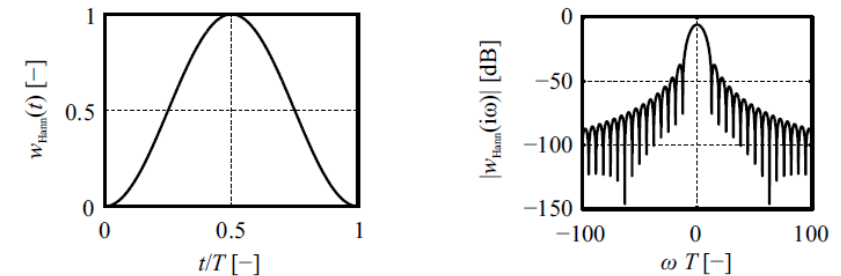
FFT – okienkowanie przykład

Bartlett Window



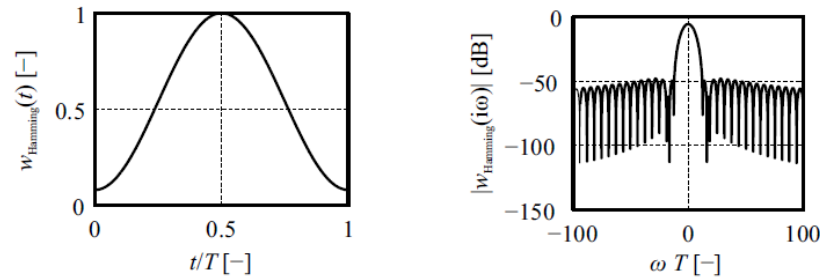
$$w_{\text{Bartlett}}(t) = \begin{cases} 1 - \frac{2|t - \frac{T}{2}|}{T} & \text{if } 0 \leq t \leq T \\ 0 & \text{otherwise} \end{cases}$$

Hann Window



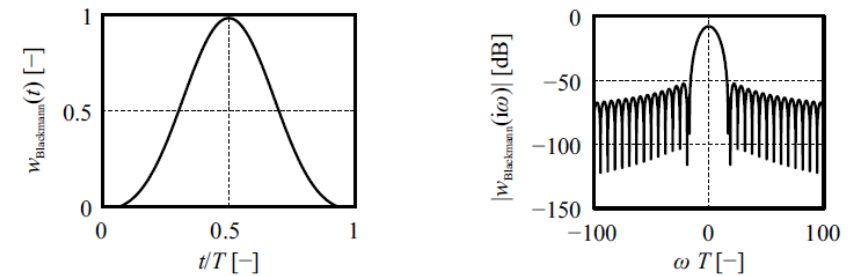
$$w_{\text{Hann}}(t) = \begin{cases} 0.5(1 - \cos(2\pi \frac{t}{T})) & \text{if } 0 \leq t \leq T \\ 0 & \text{otherwise} \end{cases}$$

Hamming Window



$$w_{\text{Hamming}}(t) = \begin{cases} 0.54 - 0.46 \cos(2\pi \frac{t}{T}) & \text{if } 0 \leq t \leq T \\ 0 & \text{otherwise} \end{cases}$$

Blackmann Window



$$w_{\text{Blackmann}}(t) = \begin{cases} 0.42 - 0.5 \cos(2\pi \frac{t}{T}) + 0.08 \cos(4\pi \frac{t}{T}) & \text{if } 0 \leq t \leq T \\ 0 & \text{otherwise} \end{cases}$$

FFT – okienkowanie

| Typ sygnału | Okno |
|--------------------------------------------------------------------|----------------------|
| Przebiegi nieustalone o czasie trwania krótszym od okna | Prostokątne |
| Przebiegi nieustalone o czasie trwania dłuższym od okna | Wykładnicze, Hanning |
| Aplikacje ogólnego zastosowania | Hanning |
| Śledzenie rozkazów | Prostokątne |
| Pomiary odpowiedzi częstotliwościowych | Hanning |
| Separacja tonów o zbliżonej częstotliwości ale różnych amplitudach | Kaiser-Bessel |
| Separacja tonów o różnej częstotliwości ale zbliżonych amplitudach | Prostokątne |
| Dokładny pomiar danej amplitudy | Flat Top |



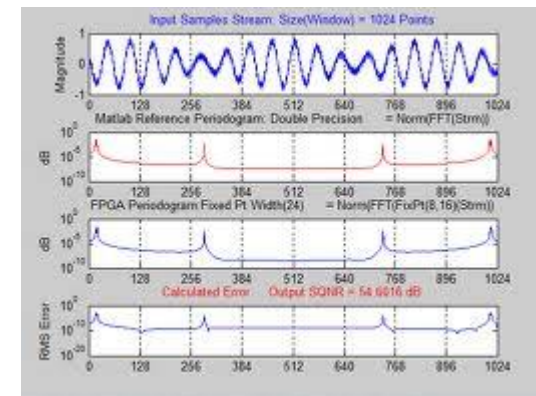
Periodogram

- Periodogram - rodzaj dyskretnej transformaty Fouriera. Pojęcia prawdopodobnie po raz pierwszy użył Arthur Schuster (1898), opierając się na pracy *Power Spectral Density estimation* (ang. "Estymacja widmowej gęstości mocy") Fernanda Schlindweina.

$$\hat{S}_{xx}(i\omega) = \frac{1}{N} |x(i\omega)|^2 = \frac{1}{N} x(i\omega) x^*(i\omega) = \frac{1}{N} \sum_{v=0}^{N-1} \sum_{\mu=0}^{N-1} x(v) x(\mu) e^{-i\omega(v+\mu)T_0}$$

- Narzędzie do wyznaczania spektrum sygnału

$$E\{\hat{S}_{xx}(i\omega)\} = \sum_{v=-(N-1)}^{N-1} w_{\text{Bartlett}}(v) R_{xx}(v) e^{-i\omega v T_0}$$



- Wartość oczekiwana jest dana jako rzeczywista gęstość widmowa spleciona z transformatą widmową okna Barletta.
- Jest tylko asymptotycznie nieobciążony a wariancja nie zbiega do zera jak $N \rightarrow \infty$.